

Comparaison de deux méthodes d'identification de chargements dynamiques à partir de mesures plein champ réalisées par déflectométrie optique.

Nicolas Madinier, Alain Berry, Quentin Leclere, Kerem Ege

▶ To cite this version:

Nicolas Madinier, Alain Berry, Quentin Leclere, Kerem Ege. Comparaison de deux méthodes d'identification de chargements dynamiques à partir de mesures plein champ réalisées par déflectométrie optique.. Journées des Jeunes Chercheurs/Chercheuses en Acoustique vibrations et Bruit 12ème édition, Nov 2022, Lyon, France. hal-04154695

HAL Id: hal-04154695

https://hal.science/hal-04154695

Submitted on 6 Jul 2023

HAL is a multi-disciplinary open access archive for the deposit and dissemination of scientific research documents, whether they are published or not. The documents may come from teaching and research institutions in France or abroad, or from public or private research centers.

L'archive ouverte pluridisciplinaire **HAL**, est destinée au dépôt et à la diffusion de documents scientifiques de niveau recherche, publiés ou non, émanant des établissements d'enseignement et de recherche français ou étrangers, des laboratoires publics ou privés.







Comparaison de deux méthodes d'identification de chargements dynamiques à partir de mesures plein champ réalisées par déflectométrie optique.

Nicolas Madinier^[1,2], Alain Berry^[1], Quentin Leclère^[2], Kerem Ege^[2]

[1] GAUS Faculté de génie mécanique, Université de Sherbrooke, Sherbrooke, QC, Canada, [2] Univ Lyon, INSA Lyon, LVA, 69621 Villeurbanne, France.

Problématique

• En France : 40% de la population est exposée à des niveaux de bruit > 55dBA (indicateur L_{DEN}) (¾ est dû au trafic automobile)

Réduction du bruit -> Identification des sources de vibrations

Utilisation de méthodes inverses.

I) Résolution inverse^[1]

Forme forte de l'équilibre local :

$$\widetilde{q}(x) = \rho h \widetilde{w}(x) \omega^2 + D \left(\frac{\partial^4 \widetilde{w}(x)}{\partial x^4} + 2 \frac{\partial^4 \widetilde{w}(x)}{\partial x^2 \partial y^2} + \frac{\partial^4 \widetilde{w}(x)}{\partial y^4} \right)$$

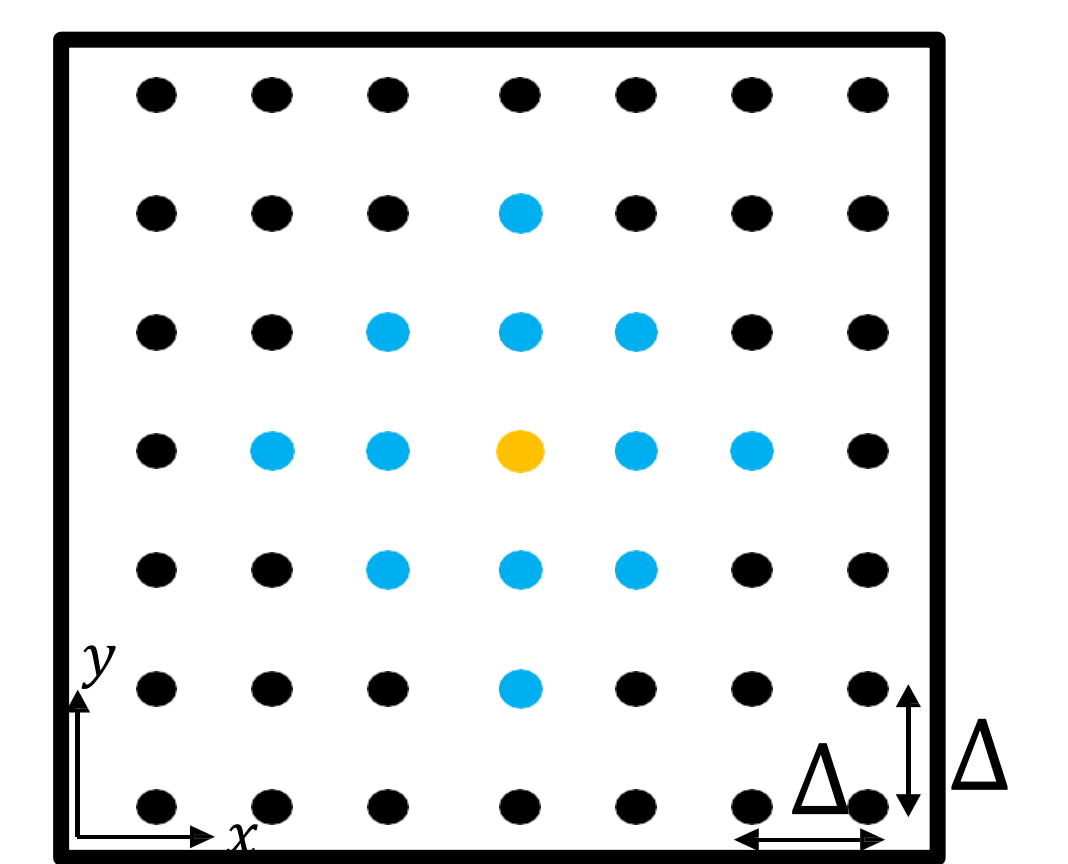
Donnée inconnue

 $\tilde{q}(x)$: la pression appliquée

Données mesurées/connues:

- $\widetilde{w}(x)$: Déplacement hors du plan
- D, ρ h : Données sur la structure
- ω : Fréquence angulaire

Schéma aux différences finies



Application du schéma \rightarrow Amplification du bruit de mesure \rightarrow Besoin de régulariser

II) Méthode des champs virtuels [2]

Principe des travaux virtuels : Forme faible de l'équation d'équilibre

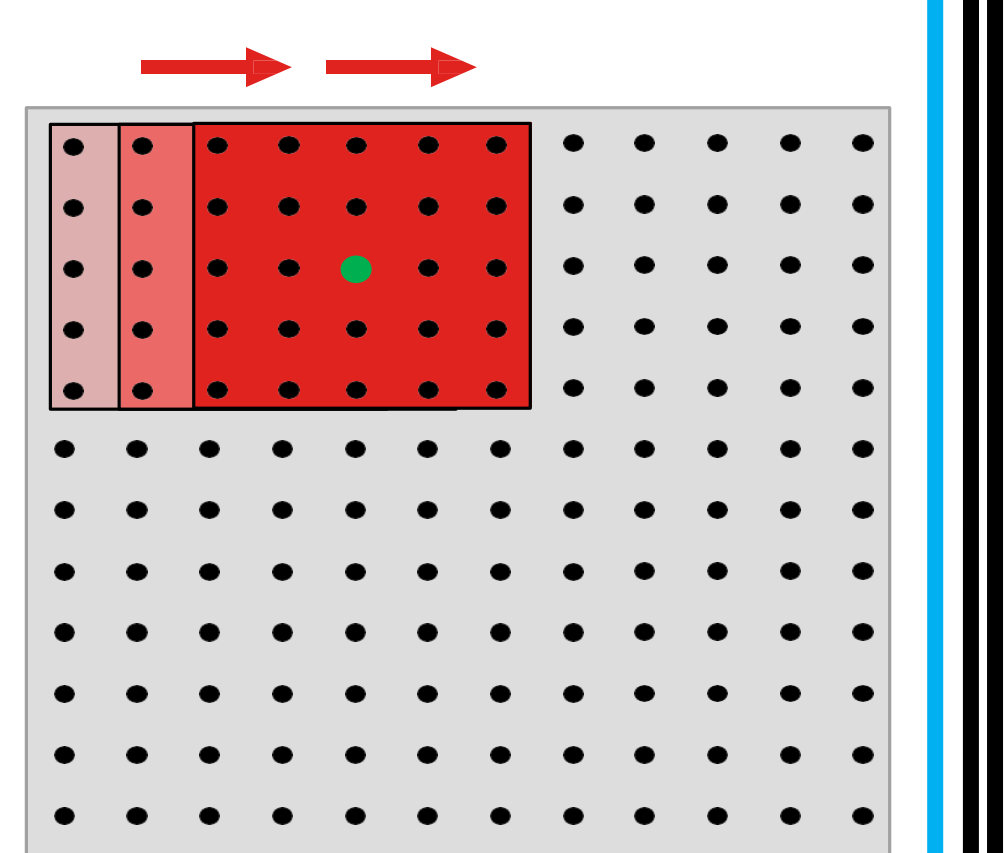
$$\int_{S} \widetilde{q}(\mathbf{x}) w^{\nu}(\mathbf{x}) dS = \frac{h^{3}}{12} \int_{S} \mathcal{K}^{\nu^{T}}(\mathbf{x}) Q(\mathbf{x}) \widetilde{\mathcal{K}}(\mathbf{x}) dS - h\omega^{2} \int_{S} \rho \widetilde{w}(\mathbf{x}) w^{\nu}(\mathbf{x}) dS$$

Avec $\widetilde{\mathcal{K}}(x)$: Courbures (obtenue à partir de $\widetilde{w}(x)$)

Méthode des champs virtuels = Choisir w^{ν} pour résoudre le PTV

Champs virtuels: w^{v} et \mathcal{K}^{v}

- morceaux à partir de fonction par d'interpolation Hermite 16.
- > Sur une fenêtre virtuelle qui scanne la plaque.
- Pour chaque position de la fenêtre le PTV est résolu et la force appliquée sur la fenêtre identifiée

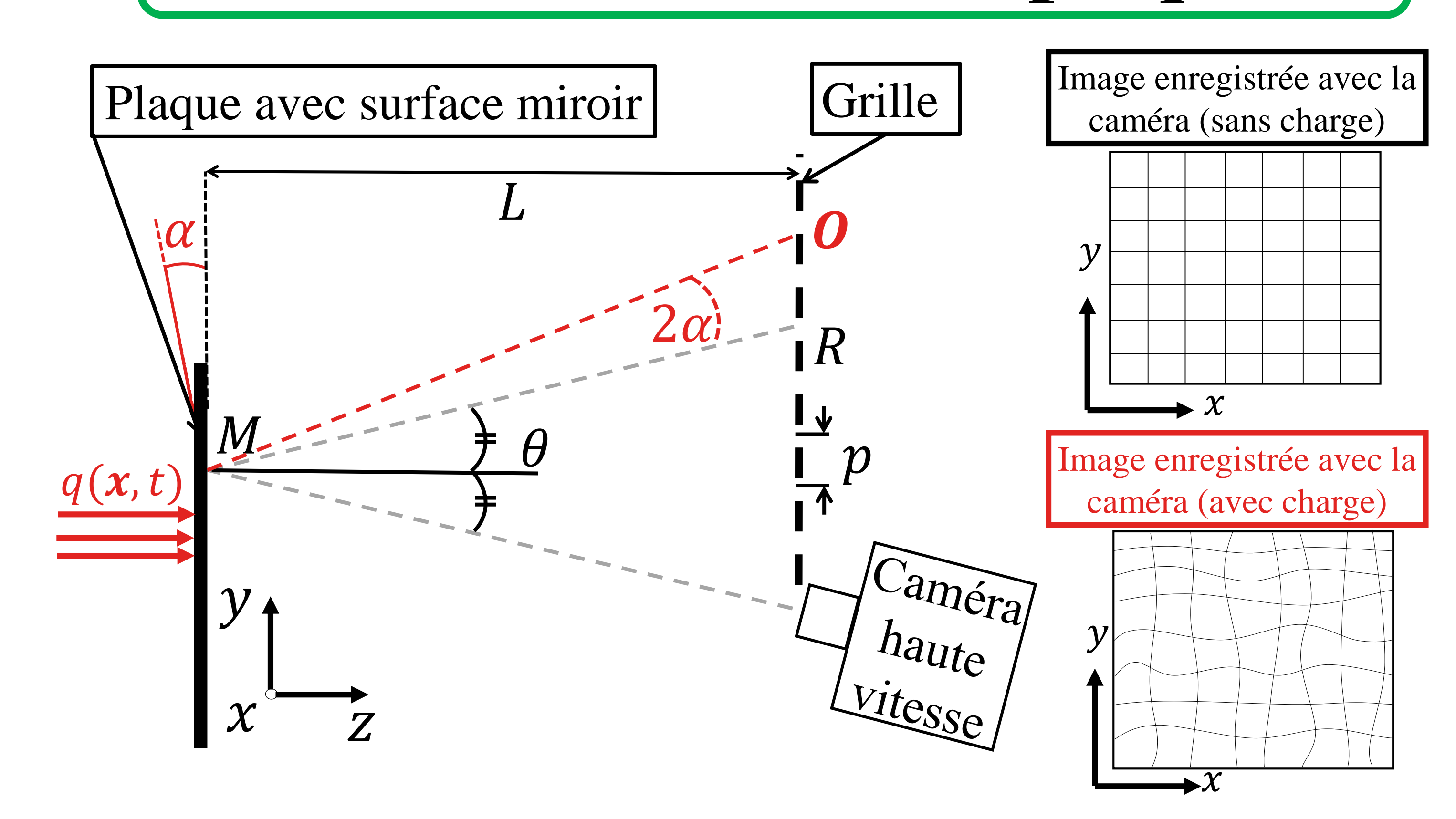


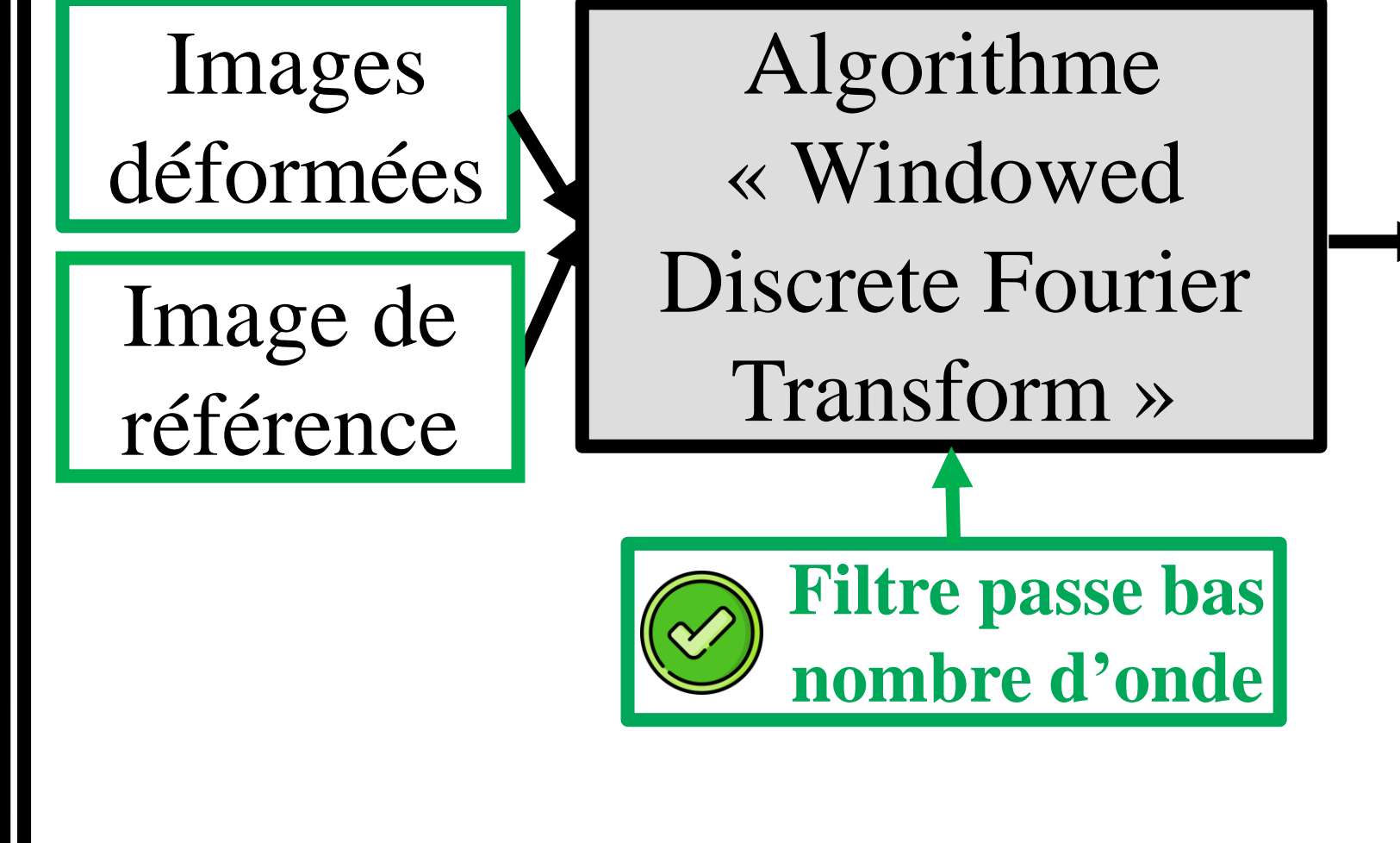
Remerciement souhaitent auteurs remercier O'Donoughue pour son aide et son apport de connaissance indispensable durant la réalisation des mesures.

Référence

- [1] C. Pezerat, J.-L. Guyader, « Force analysis technique: reconstruction of force distribution on plates », Acustica United with Acta Acustica 86 (2000)
- [2] A. Berry, O. Robin, and F. Pierron, "Identification of dynamic loading on a bending plate using the Virtual Fields Method," Journal of Sound and Vibration, 2014.
- [3] P. O'Donoughue, O. Robin, et A. Berry, « Time-resolved identification of mechanical loadings on plates using the virtual fields method and deflectometry measurements », *Strain*, juin 2018

III) Déflectométrie optique^[3]





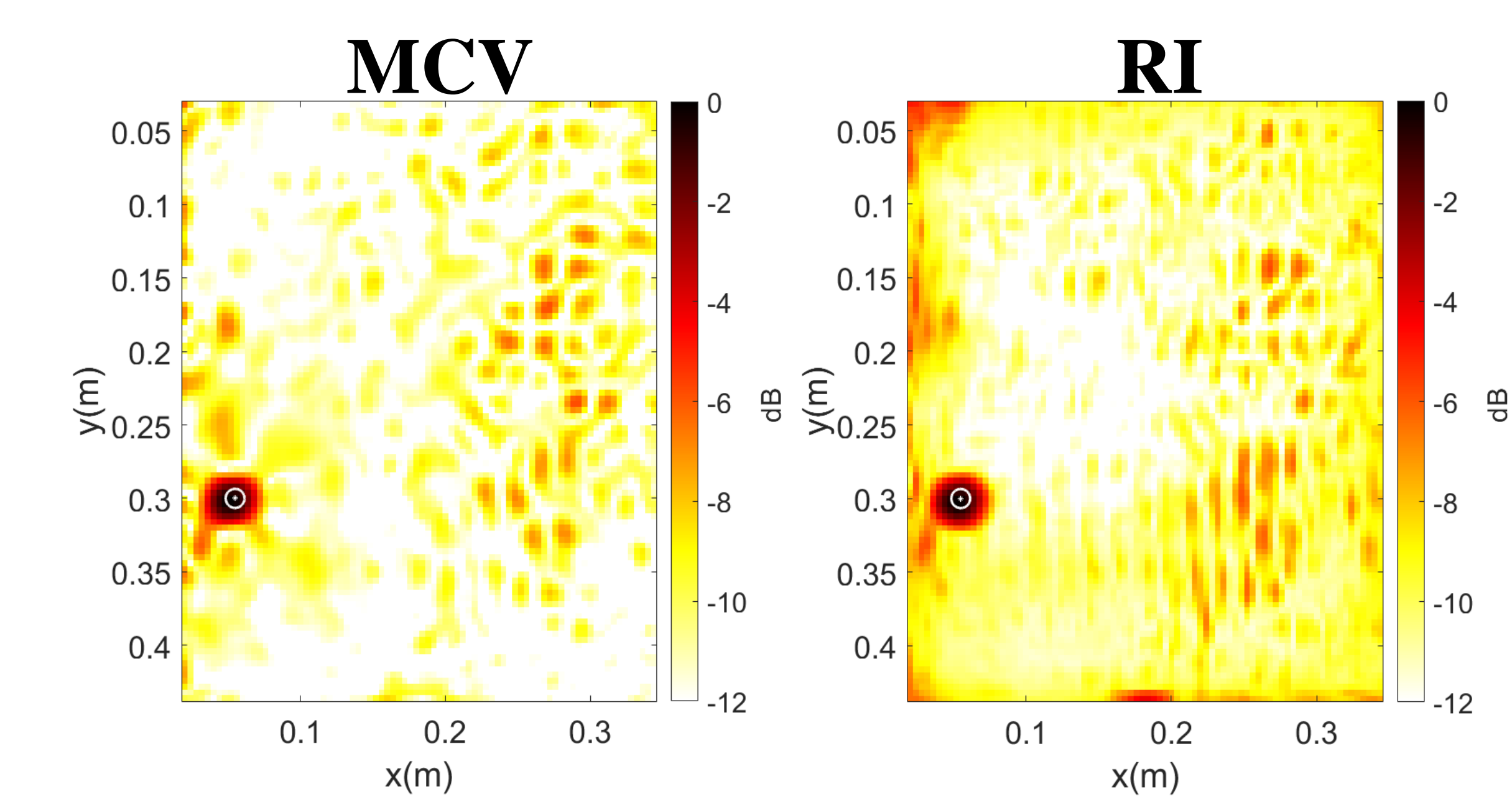
 $\Delta\Phi_{\chi}$, $\Delta\Phi_{\gamma}$ (Différence de phase entre les images de référence et déformées)

 $lpha_x = rac{P}{4\pi L}\Delta\Phi_x$, $lpha_y = rac{P}{4\pi L}\Delta\Phi_y$ (pentes du champs de déplacements)

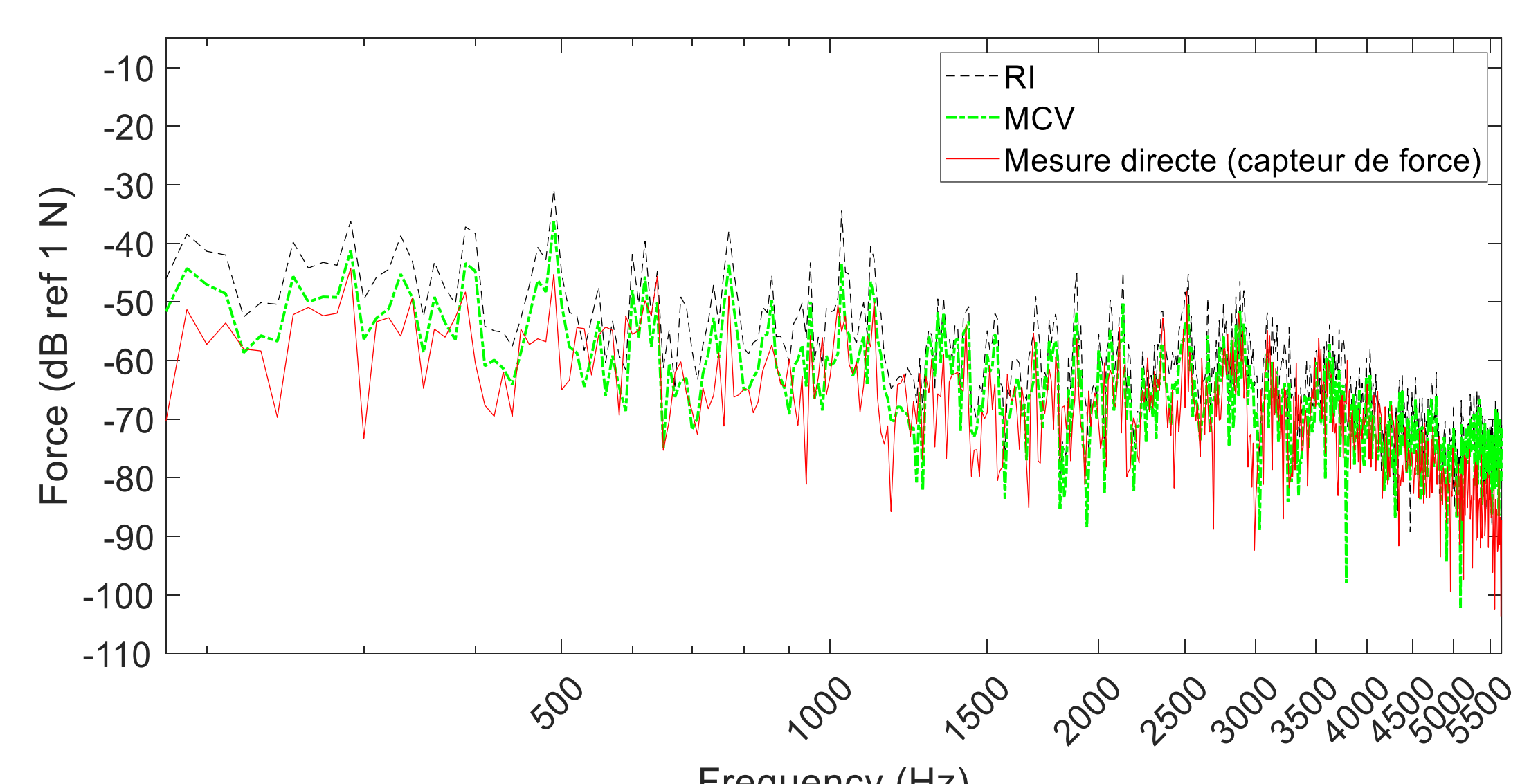
IV) Résultats expérimentaux

Montage expérimental :

- Signal d'excitation: Bruit blanc filtré sur 5 bandes octaves (250, 500 1000, 2000 et 4000 Hz)
- Signal: injecté par un pot vibrant
- Mesure de référence: capteur de force
- Structure : plaque d'aluminium simplement supportée



Force identifiée intégrée entre 180 et 5660 Hz (en dB avec une amplitude de 12dB et normalisée par la valeur maximale pour chaque carte)



Frequency (Hz) Spectre de force (en dB, ref 1N) identifié avec RI (fine ligne noir pointillée) et MCV (fine ligne verte pointillée) et capteur de force (ligne rouge continue)